

20
И Н С Т И Т У Т
ЯДЕРНОЙ ФИЗИКИ СОАН СССР

препринт 310

В.Ц.Гурович, В.И.Карпман

О ВЛИЯНИИ ДИССИПАТИВНЫХ ЭФФЕКТОВ
НА ЭЛЕКТРОЗВУКОВЫЕ ВОЛНЫ В ПЛАЗМЕ

НОВОСИБИРСК

1969

В работе [1] В.П.Гурович, В.И.Карпман с сотрудниками из института физики и астрофизики им. А.И.Алферова "Электроакустика" описаны единичные столкновения зон на разрежении в плаэме с отрицательной длиной волны. В работе [2] было получено описание нестационарного решения уравнения Гамильтон-Янга для малой амплитуды звуковых волн в плаэме, которое описывает движение фокусирующихся электрозвуковых волн под действием подвижной иллюминаторной электромагнитной волны.

А Н Н О Т А Ц И Я

В настоящем разделе будет показано, что диссипативный процесс можно изучить. Условие малости последних было

Получены асимптотические формулы, описывающие эволюцию

уединенных электрозвуковых волн в плаэме, обусловленную электрон-

ионными столкновениями. Исследование исходного ряда электрон-ионных столкновений (т.е. в) в динамике электрозвуковых солитонов малой амплитуды (в разреженной плаэме с $T_e \gg T_i$) этот диссипативный эффект является основным в широкой области параметров (1/1).

Для вывода уравнений, описывающих эволюцию электрозвуковых волн в случае малой (но конечной) частоты Э.З.С., можно использовать метод дифференциального шага в пространстве

$$E(x, t) = \operatorname{Re}[E(x, t)e^{-i\omega t}],$$

где $E(x, t)$ - медленно меняющаяся комплексная амплитуда.

Уравнение для E имеет вид (см. [1] уравнение (1.10))

$$[\omega^2 \epsilon_0 + \omega^2 \frac{\partial \epsilon_0}{\partial \rho} (\rho - \beta) + \sigma^2 \frac{\partial^2}{\partial \rho^2}] E + i \frac{\partial (\omega^2 \epsilon_0)}{\partial \rho} \frac{\partial E}{\partial t} = 0 \quad (1)$$

здесь $\epsilon_0(\rho, \beta)$ - диэлектрическая проводимость плаэмы при температуре β , σ - определенная зарядом волны

$$\epsilon_0 = 1 - \omega^2/\omega_0^2 + i/\sigma \omega \quad (2)$$

В работе /1/ было показано, что в плазме с отрицательной диэлектрической проницаемостью могут распространяться "электрозвуковые солитоны" - уединенные стационарные волны разрежения плотности, заполненные запертым в них высокочастотным электромагнитным полем. В работе /2/ было получено общее нестационарное решение уравнений для электрозвуковых волн достаточно малой амплитуды, которое описывает динамику формирования электрозвуковых солитонов под действием падающей на границу плазмы модулированной электромагнитной волны.

В цитированных работах предполагалось, что диссипативными процессами можно пренебречь. Условия малости последних были кратко рассмотрены в /1/. Однако, даже малые диссипативные эффекты, не влияющие существенным образом на процесс формирования электрозвуковых солитонов, определяют, в значительной мере, их дальнейшую эволюцию.

Настоящая заметка посвящена исследованию роли электрон-ионных столкновений (э.и.с.) в динамике электрозвуковых солитонов малой амплитуды (в разреженной плазме с $T_e \gg T_i$ этот диссибирательный эффект является основным в широкой области параметров /1/).

Для вывода уравнений, описывающих эволюцию электрозвуковых волн в случае малой (но конечной) частоты э.и.с., запишем электрическое поле в виде

$$\mathcal{E}(x, t) = \operatorname{Re} [E(x, t) e^{-i\omega t}],$$

где $E(x, t)$ - медленно меняющаяся комплексная амплитуда.

Уравнение для E имеет вид (см. /1/ уравнение (1.19))

$$[\omega^2 \epsilon_0 + \omega^2 \frac{\partial \epsilon_0}{\partial \rho} (\rho - \rho_0) + C^2 \frac{\partial^2}{\partial x^2}] E + i \frac{\partial (\omega^2 \epsilon_0)}{\partial \omega} \frac{\partial E}{\partial t} = 0 \quad (1)$$

Здесь $\epsilon_0(\omega, \rho)$ - диэлектрическая проницаемость плазмы при равновесной плотности ρ_0 , определяемая выражением

$$\epsilon_0 = 1 - \omega_0^2/\omega^2 + i/\bar{\epsilon}\omega \quad (2)$$

Величина $\tilde{\tau}$ - есть характерное время э.и.с. /3/

$$\tilde{\tau}^{-1} = \tilde{\tau}_{ei}^{-1} \approx \frac{\pi e^4 n_0}{T_e^{3/2} m_e^{1/2}} \ln\left(0,37 \frac{T_e}{e^2 n_0^{1/3}}\right). \quad (3)$$

При этом предполагается, что

$$(\tilde{\tau}\omega) \gg 1. \quad (4)$$

Записав далее комплексную амплитуду поля в виде

$$E = a(x, t) e^{i\varphi(x, t)}$$

где $a(x, t)$ и $\varphi(x, t)$ - действительные функции, из (1), (2), опуская член с $\partial E / \partial t$, малый по сравнению с $c^2 \partial^2 E / \partial x^2$ (см. /1/, § 3), получим

$$a_{xx} - M^2 \gamma^{-2} (\gamma^2 + V) a - \varphi_x^2 a = 0, \quad (5)$$

$$(a^2 \varphi_x)_x = -\omega a^2 / c^2 \tilde{\tau}.$$

Для волн достаточно малой (но конечной) амплитуды, распространяющихся в положительном направлении оси x , величина $V = (\rho - \rho_0)/\rho_0$ удовлетворяет уравнению /4/.

$$V_t + c_s V_x = -c_s (a^2)_x / 2E_c^2. \quad (6)$$

В уравнениях (5), (6) введены следующие обозначения

$$M^2 = (\omega_0^2 - \omega^2) / c^2,$$

$$\gamma^2 = (\omega_0^2 - \omega^2) / \omega_0^2$$

$$E_c^2 \approx 16\pi\rho_0 c_s^2, \quad c_s^2 = T_e/m_i. \quad (7)$$

При $\tilde{\tau} = \infty$ система (5), (6) совпадает с полной системой уравнений для электрозвуковых волн достаточно малой амплитуды, изучавшейся в работах /2, 4/. Соответственно, область применимости уравнений (5), (6) ограничена теми же условиями, что и в /2, 4/.

В статическом случае, когда плотность плазмы не зависит от времени, уравнения (5), (6) совпадают с уравнениями стационарного скин-слоя, полученными и исследованными Силиным /5/.

Система (5), (6) имеет решение вида

$$a(x, t) = e^{-t/2\tilde{\tau}} A(\xi), \quad \varphi = \varPhi(\xi),$$

$$V(x, t) = \frac{A_0^2 - A^2(\xi)}{2E_c^2(1-\omega/c_s)} - \gamma^2,$$

где

$$\xi = x - c_s t + \tilde{\tau}(c_s - \omega)(1 - e^{-t/\tilde{\tau}}), \quad (9)$$

$$A_{\xi\xi} - M^2 \frac{(A_0^2 - A^2)A}{2E_c^2 \gamma^2 (1 - \omega/c_s)} - \frac{\mathcal{P}^2(\xi)}{A^3} = 0, \quad (10)$$

$$d\mathcal{P}/d\xi = -A^2 \omega / \tilde{\tau} c_s^2, \quad (11)$$

$$\mathcal{P}(\xi) = \mathcal{P}_0 A^2.$$

ω и A_0 - здесь произвольные постоянные.

Система обыкновенных дифференциальных уравнений (10), (11) для функций $A(\xi)$ и $\mathcal{P}(\xi)$ совпадает по форме с уравнениями (5.2), (5.3) работы /5/. Используя полученные там результаты, мы заключаем, что при достаточно малой частоте э.и.с. $\tilde{\tau}^{-1}$ функция $A(\xi)$ имеет общий вид, изображенный на рисунке. Для наглядности там приведен вид решений при двух различных значениях $\tilde{\tau}$.

При $(\omega \tilde{\tau}) \rightarrow \infty$ расстояния между отдельными осцилляциями в передней части волны возрастают. При этом первые осцилляции на фронте, достаточно удаленные друг от друга, могут быть описаны следующим асимптотическим (при $(\omega \tilde{\tau}) \rightarrow \infty$) выражением¹⁾

$$A(\xi) = 2E_c \delta(1 - w/c_s)^{1/2} \operatorname{sech}(\gamma(\xi - \xi_0)), \quad (12)$$

где ξ_0 — "координата" вершины рассматриваемой осцилляции (см. рис.). Постоянная γ , фигурирующая в уравнении (10), имеет при этом следующий предел

$$\lim_{(\omega \tilde{\tau}) \rightarrow \infty} A_0 = \sqrt{2} E_c \delta(1 - w/c_s)^{1/2}. \quad (13)$$

Подставляя (12) и (13) в формулы (8), получив следующие асимптотические выражения, описывающие амплитуду поля и относительное изменение плотности плазмы в первой осцилляции при больших $\omega \tilde{\tau}$

$$a(x, t) = e^{-t/2\tilde{\tau}} A_m \operatorname{sech}\gamma(\xi - \xi_0), \quad (14)$$

$$A_m = 2E_c \delta(1 - w/c_s)^{1/2}, \quad (15)$$

$$V = -2\gamma^2 \operatorname{sech}^2(\gamma(\xi - \xi_0)) \quad (16)$$

¹⁾ При достаточно малых значениях величины $(\omega \tilde{\tau})^{-1}$ из уравнения (11) следует, что $dP/d\xi \approx 0$. Учитывая это и граничное условие $A(\infty) = 0$ получаем из уравнения (10) приближенное выражение (12). Область применимости этого соотношения рассмотрена в Приложении.

Формулы (14) – (16) вместе с выражением для величины описывают электрозвуковой солитон, имеющий при $t = 0$ амплитуду A_m и скорость w (ср. с соответствующими выражениями в работах [2, 4]). В последующие моменты времени волна, описываемая формулами (14) – (16) и (8), сохраняет солитоноподобную форму. Её "число Маха" определяется выражением

$$M(t) = \frac{1}{c_s} \left(\frac{dx}{dt} \right)_{\xi = \xi_0} = 1 - [1 - M(0)] e^{-t/\tilde{\tau}}, \quad (17)$$

$$M(0) = w/c_s, \quad (18)$$

а максимальная амплитуда электрического поля равна

$$a_m(t) = A_m \exp(-t/2\tilde{\tau}) \quad (19)$$

Согласно уравнениям (15), (17) и (19), связь между амплитудой $a_m(t)$ и числом Маха в любой момент времени имеет вид

$$a_m(t) = 2E_c \delta[1 - M(t)]^{1/2}, \quad (20)$$

что совпадает с соответствующим выражением для электрозвуковых солитонов малой амплитуды без учёта затухания.

Таким образом, учёт э.и.с. приводит к экспоненциальному затуханию амплитуды поля в солитоне²⁾; соответственно, число Маха согласно формуле (17) экспоненциально приближается к единице при

2) Обсуждаемое здесь частное решение, как видно из рисунка, описывает электрозвуковые волны, возбуждаемые на границе плазмы при некоторых специальных граничных условиях, определяемых значениями функций $a(x, t)$, $P(x, t)$ и $V(x, t)$ при $x = 0$. Однако, как следует из формул, описывающих это решение, передняя волна при достаточно больших t перестает зависеть от граничных условий и принимает форму солитона, так что формулы (14)–(16) и (8) описывают распространение солитона с учетом э.и.с. в случае $(\omega \tilde{\tau}) \gg 1$.

Что касается профиля относительной плотности ν , то его вид, как следует из выражения (16), не зависит от времени. Это связано, во-первых, с тем, что мы не учитываем более медленных диссипативных процессов: ионнозвукового затухания Ландау и вязкости плазмы вследствие ион-ионных столкновений. Во-вторых, мы пренебрегаем нелинейным укручением профиля плотности ионнозвуковой волны (уравнение (6) получается из линеаризованных уравнений ионнозвуковой газодинамики).

Условие применимости выражений (14) - (16) и (9) имеет вид³⁾, (см. Приложение)

$$(\tilde{\tau}\omega) \gg (10/\gamma)^2 \quad (21)$$

Остановимся теперь кратко на роли других диссипативных эффектов. Если процессы вязкости и теплопроводности в плазме играют следующую роль после э.и.с., то эволюция электрозвукового солитона будет происходить следующим образом: сначала затухнет запертое в нем электромагнитное поле, а скорость его приблизится к скорости звука. Затем совместное действие вязкости, теплопроводности и нелинейного укручения приведет к треугольной форме профиля плотности.

Пользуемся возможностью выразить благодарность В.П.Соколову за полезное обсуждение результатов.

3) Для того, чтобы частота э.и.с. была много больше декремента затухания Ландау для ионнозвуковой волны $\tilde{\tau}_L^{-1}$, должно выполняться неравенство $\tilde{\tau}^{-1} \gg \tilde{\tau}_L^{-1} \approx 10^{-2} \omega \gamma / c$. Из условия совместности последнего с выражением (21) следует:

$C_s/c\gamma \ll 1$. Это неравенство есть одновременно условие справедливости исходных уравнений (5) (см. 1/) и потому считается выполненным с самого начала.

ПРИЛОЖЕНИЕ

Выясним область справедливости решения (12). Для этого подставляем (12) в уравнение (11). При граничном условии $P(\xi_0)=0$ получаем

$$P(\xi) = \frac{\omega A_m^2}{c^2 \tilde{\tau}^4} [1 - \operatorname{th}^4(\gamma(\xi - \xi_0))] \quad (\text{П.1})$$

Вычисляя с помощью (П.1) и (12) отношение последнего члена к первому в уравнении (10), получим

$$\frac{P^2(\xi)}{A^3(\xi) A_{\xi\xi}} = \frac{\omega^2}{c^4 \tilde{\tau}^2 \gamma^4} \frac{e^{-2\gamma(\xi - \xi_0)}}{[sh^2 \gamma(\xi - \xi_0) - 1]} ch^4 \gamma(\xi - \xi_0). \quad (\text{П.2})$$

Из этого выражения следует, что

$$\frac{P^2(\xi)}{A^3 A_{\xi\xi}} \sim \begin{cases} (\gamma^2 \tilde{\tau} \omega)^{-2}, & \xi > \xi_0 \\ (\gamma^2 \tilde{\tau} \omega)^{-2} e^{4\gamma(\xi_0 - \xi)}, & \xi < \xi_0 \end{cases} \quad (\text{П.3})$$

Чтобы членом с P^2 в уравнении (10) можно было пренебречь в области значений ξ , отвечающих солитону с вершиной в точке $\xi = \xi_0$, необходимо, чтобы отношение, стоящее в левой части (П.3) было достаточно малым на расстоянии нескольких солитонных длин от вершины⁴⁾. Полагая $\xi_0 - \xi = K \gamma^{-1}$,

4) Величина (П.2) становится большой также в окрестности точки перегиба солитонного профиля (где $A_{\xi\xi} = 0$). Однако, величина этой области имеет порядок $\delta \xi \approx \gamma^{-1} (\gamma^2 \tilde{\tau} \omega)^{-2} \ll \gamma^2$, т.е. много меньше размера солитона.

где $K \sim 1$, получим соответствующее условие в виде

$$(\tilde{\omega}) \gg \gamma^{-2} e^{2K} \quad (\text{П.4})$$

Считая, для определенности, что $K=2$, получаем (21).

Л и т е р а т у р а

1. В.Ц.Гурович, В.И.Карпман. ЖЭТФ, 56, № 6, 1969.
2. В.И.Карпман. Письма в ЖЭТФ, 9, 430, 1969.
3. В.Л.Гинзбург. Распространение электромагнитных волн в плазме. Наука, М., 1967.
4. В.Ц.Гурович, В.И.Карпман, Р.Н.Кауфман. ЖЭТФ, 56, № 6, 1969.
5. В.П.Силин. ЖЭТФ, 53, 1662, 1967.

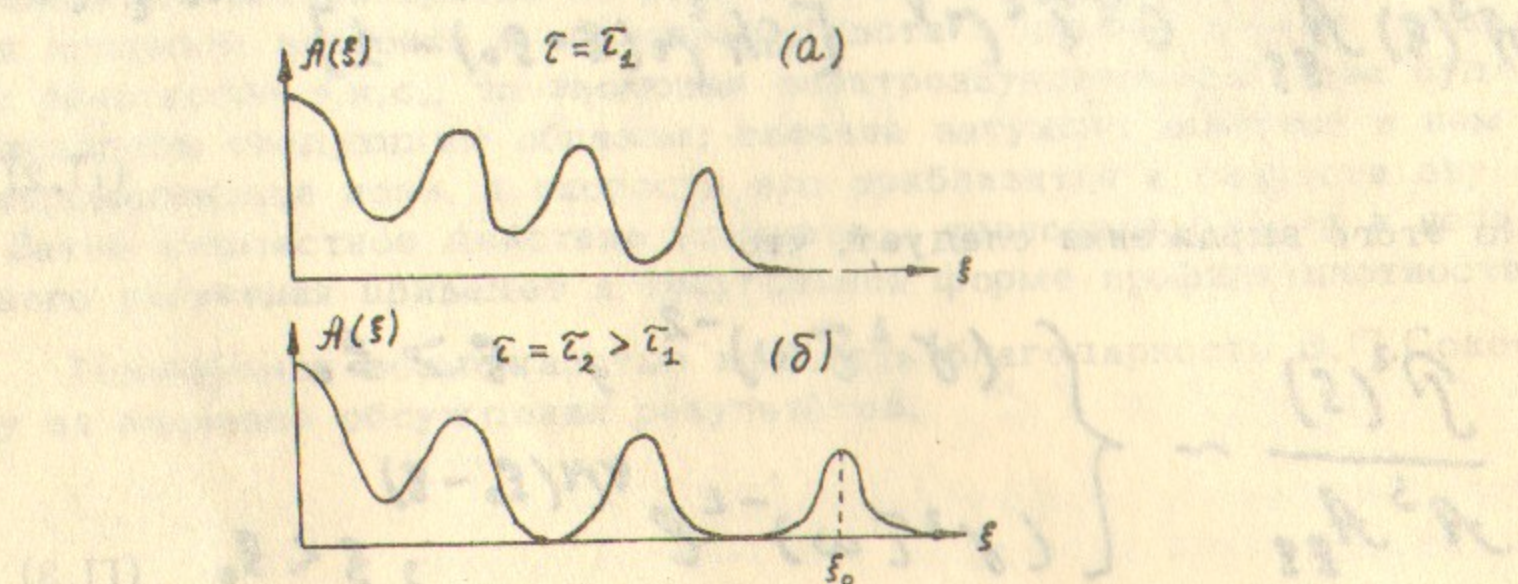


рис. 1

Рисунок 1 изображает две кривые $A(s)$ в зависимости от s . Кривая (a) соответствует $\epsilon = \epsilon_1$ и имеет много мелких колебаний. Кривая (b) соответствует $\epsilon = \epsilon_2 > \epsilon_1$ и имеет меньше колебаний, а также содержит один ярко выраженный пик при $s = s_0$.

сам К-2, полученный в результате изучения в работе

Генератора ω от ω замедл. Н.В. Григорьев. Б.А.
(1968)

1991 год в физике и математике Н.В. З

Соловьев, для определения места Генератора Григорьев

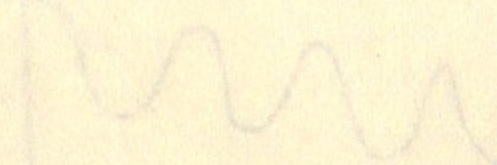
смешан с ядром квантования замедленного генератора Г.В. Г

1991. М. Арутюн

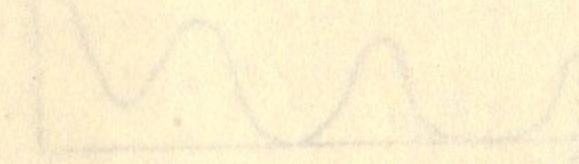
1991 год в физике и математике Н.В. Григорьев. Б.А.

1991 год в физике и математике Г.В. Г

Генератор Григорьев



1991 год в физике и математике



Григорьев

Ответственный за выпуск В.Ц.Гурович.

Подписано к печати 21.5.69.

Усл. 0,5 печ.л., тираж 250 экз. Бесплатно.

Заказ № 310

Отпечатано на ротапринте в ИЯФ СО АН СССР, нв.